

# GÜC SPEKTRUMUNUN SP YÖNTEMİNDE KÜRE MODELİNE UYGULANMASI

## Application of Power Spectrum to a Sphere Model in the Self-Potential Method

Zafer AKÇİĞ\*, Rahmi PINAR\* ve E. Uğur ULUGERGERLİ\*

### ÖZET

Potansiyel alan verilerinin (gravite ve manyetik) dalgası ortamında değerlendirilmesi için süzgeçleme ve güç spektrumu teknikleri kullanılmaktadır. Uzun yıllarda beri güç spektrumu yönteminde yapılan araştırmalar, anomalije neden olan yapı parametrelerinin spektrum üzerindeki etkilerinin belirlenmesi ve bu parametrelerin saptanmasına yöneliktır.

Son yıllarda gelişen SP yöntemine, güç spektrumu uygulaması ise bu çalışmanın konusunu oluşturmaktadır. Bu amaca yönelik olarak küre şekilli bir cismin analitik bağıntısından yararlanarak kuramsal spektrumu hesaplanmıştır. Elde edilen bağıntıdan, küre şekilli yapının parametrelerinin spektrum üzerindeki denetimleri araştırılmış ve spektrum eğrisinin eğiminden yararlanarak da anomalije neden olan kaynağın derinliğinin saptanabileceği gösterilmiştir.

### ABSTRACT

Filter and power spectra techniques are used to interpret the potential field data (gravity and magnetics) in the frequency domain. Investigation on the power spectrum techniques have up to now, been on the determination of the influence of the causative body parameters on the power spectrum and determination of such parameters.

Power spectrum is applied to the recently improved self-potential method in this study. Theoretical power spectrum was calculated for a sphere from the analytical equations developed for this purpose. The influence of the sphere shaped structures, on the spectrum parameters is investigated using the equations developed for such structures and the depth of the spherical body is estimated from the slope of the spectrum curve.

### GİRİŞ

Günümüze degen yapılan çalışmalar sonucu, potansiyel alan verilerinin (gravite ve manyetik) dalgası ortamı davranışları ortaya konmuştur. Elde edilen bulgulardan yararlanılarak, bu davranışları denetleyen yapı parametreleri ve özellikleri saptanmıştır. Bu özellikler yardımıyla anomalije neden olan yapının parametrelerinin (derinlik, kalınlık vb.) bulunabileceği gösterilmiştir. Bu konuya ilişkin yayınlar günümüzde yaygın bir kaynakça oluşturmaktadır (Dean 1958, Bhattacharya 1965 ve 1966, Spector ve Bhattacharya 1966, Spector ve Grant 1970, vd.).

Gerek uygulama kolaylığı, gerekse sonuçlardaki başarısı nedeni ile doğal gerilim (SP) yöntemi, son yıllarda geniş bir uygulama alanı bulmuştur. Yöntem özellikle jeotermal alanlarda, su aramalarında (tatlı-tuzlu su girişimlerinin saptanmasında) ve sulfürlü minerallerin aranmasında yaygın olarak kullanılmaktadır.

Yöntem; ucuzluğu ve uygulama kolaylığı açısından arazi çalışmalarında uygulanan ilksel bir yöntem olma özelliğini

taşımaktadır. Bu nedenle SP anomalilerinin değerlendirilmesi amacıyla yönelik çalışmalar son on yılda artmıştır. Araştırmacılarından Bahattacharya ve Roy (1981) küre ve silindir model anomalilerinin parametrelerinin hesaplanabilmesi için nomogram yönteminin geliştirilmiştir. Dilim ve silindir şeklindeki bir yapının SP anomalisinin değerlendirilmesi için benzer nomogram ise Murty ve Haricharan (1985) tarafından hesaplanmıştır. SP belirtilerinin değerlendirilmesinde, Babu ve Rao (1987) deşik bir yaklaşım getirmiştir. Söz konusu araştırmacılar, Marquardt (1963) algoritmasını kullanarak küre, silindir ve dilim şeklinde yapıların parametrelerini saptamışlardır.

Bu çalışmada ise doğal gerilim SP verilerinin, dalgası ortamı davranışlarının araştırılması amaçlanmaktadır. Bu amaç doğrultusunda küre şekilli bir cismin oluşturacağı gerilimin, kuramsal bağıntısından yararlanarak dalgasayı ortamı çözümlemeleri yapılmıştır. Bu çözümlemelerin işiği altıncı, anomalije neden olan yapı parametrelerinin etkileri araştırılmış ve elde edilen sonuçlar tartışılmıştır.

\* D.E.Ü. Müh. Mim. Fak. Jeoloji Müh. Böl. Bornova-İZMİR

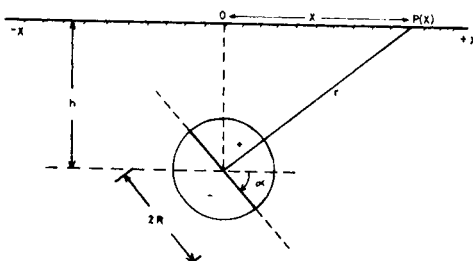
## KÜRE BİÇİMLİ YAPILARIN DOĞAL GERİLİM BELİRTİLERİ VE SPEKTRUMLARI

Merkez derinliği  $h$ , yarıçapı  $R$  olan kürenin (Şekil 1) yüzündenki izdüşümünden  $x$  uzaklığında oluşturacağı gerilim

$$v(x) = \frac{\Delta V R^2}{2} \left[ \frac{h \cos\alpha + x \sin\alpha}{(x^2 + h^2)^{3/2}} \right] \quad (1)$$

bağıntısı ile verilir (Heiland 1968).  $v(x)$  gerilim bağıntısının Fourier dönüşümü, (1) bağıntısında

$$N = \frac{\Delta V R^2}{2}$$



Şekil 1. SP yönteminde küre şeklinde bir yapının parametreleri  
Fig. 1. Parameters of the sphere shaped bodies in SP method

tanımlaması yapılp, sabit olduğu için tümleme dışına alınarak

$$V(w) = N \int_{-\infty}^{\infty} \left( \frac{h \cos\alpha + x \sin\alpha}{(x^2 + h^2)^{3/2}} \right) e^{-iwx} dx \quad (2)$$

eşitliği ile tanımlanır. (2) bağıntısını iki ayrı terimin toplamı şeklinde yazıp, tümlev sabitlerini tümlev dışına alırsak

$$\begin{aligned} V(w) &= N h \cos\alpha \int_{-\infty}^{\infty} \frac{e^{-iwx}}{(x^2 + h^2)^{3/2}} dx \\ &+ N \sin\alpha \int_{-\infty}^{\infty} \frac{xe^{-iwx}}{(x^2 + h^2)^{3/2}} dx \end{aligned} \quad (3)$$

denklemi elde edilir. Euler bağıntısı kullanıldığında, birinci terim

$$\int_{-\infty}^{\infty} \frac{e^{-iwx}}{(x^2 + h^2)^{3/2}} dx = \int_{-\infty}^{\infty} \frac{\cos wx - i \sin wx}{(x^2 + h^2)^{3/2}} dx \quad (4)$$

$$= \int_{-\infty}^{\infty} \frac{\cos wx}{(x^2 + h^2)^{3/2}} dx - i \int_{-\infty}^{\infty} \frac{\sin wx}{(x^2 + h^2)^{3/2}} dx \quad (5)$$

durumuna gelir. Aynı yaklaşım (3) bağıntısının ikinci terimine de uygulanırsa

$$\int_{-\infty}^{\infty} \frac{xe^{-iwx}}{(x^2 + h^2)^{3/2}} dx = \int_{-\infty}^{\infty} \frac{x \cos wx}{(x^2 + h^2)^{3/2}} dx - i \int_{-\infty}^{\infty} \frac{x \sin wx}{(x^2 + h^2)^{3/2}} dx \quad (6)$$

elde edilir.

Bu işlemler, Erdelyi (1954) tümleme tabloları (bkz. Ek) kullanılarak çözüldüğünde (5) bağıntısındaki tümleme

$$\int_{-\infty}^{\infty} \frac{e^{-iwx}}{(x^2 + h^2)^{3/2}} dx = 2 \left[ \frac{w}{h} K_1(wh) + \frac{w}{h} K_0(wh) \right] \quad (7)$$

olarak bulunur. Benzer şekilde (6) bağıntısındaki tümlemede çözüürse,

$$\int_{-\infty}^{\infty} \frac{xe^{-iwx}}{(x^2 + h^2)^{3/2}} dx = 2 \left[ \frac{i}{h} \frac{d}{dw} (wK_1(wh) - iwK_0(wh)) \right] \quad (8)$$

elde edilir.  $K_n(wh)$  Modifiye Bessel işlevidir. (8) bağıntısındaki Bessel işlevinin türevi ise

$$\frac{d}{dw} [wK_1(wh)] = -hwK_0(wh) \quad (9)$$

olarak biltir. (8) bağıntısı, (9) bağıntısı kullanılarak yeniden yazılırsa

$$\int_{-\infty}^{\infty} \frac{xe^{-iwx}}{(x^2 + h^2)^{3/2}} dx = -2i [wK_0(wh) + wK_1(wh)] \quad (10)$$

elde edilir. (7) ve (10) bağıntısı yardımıyla, (3) bağıntısı tekrar düzenlenirse

$$V(w) = 4N w \cos\alpha K_1(wh) - i4N w \sin\alpha K_0(wh) \quad (11)$$

elde edilir.

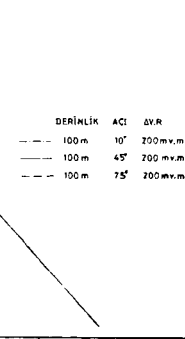
Güç spektrumu  $E(w)$  gerçek ve sanal bileşenlerin kareleri toplamı olarak tanımlanmıştır,

$$E(w) = 16N^2 w^2 [\cos^2\alpha K_1^2(wh) + \sin^2\alpha K_0^2(wh)] \quad (12)$$

olarak bulunur.

Polarlanma açısının (a) güç spektrumu üzerindeki dene-  
timinin araştırılması amacıyla küre şeklinde bir yapının SP anomali-  
sinin spektrumu. (12) ve Ek'te verilen bağıntılar kullanıla-  
rak hesaplanmıştır. Uygulama, küre yarıçapı, derinlik ve  
gerilim farkı sabit olmak üzere üç değişik polarlanma açısı  
(10°, 45°, 75°) kullanılarak gerçekleştirilmiştir (Şekil 2). Şek-  
lin incelemesinden, polarlanma açısının alçak frekanslar di-  
sında spektrum üzerinde denetimi olmadığı görülmektedir.

Yukarıda de濂ilen açıklamalar ve Modifiye Bessel  
fonksiyonlarının (bkz. Ek),



Şekil 2. Polarlanma açısına bağlı olarak güç spektrumunun  
değişimi

Fig. 2. The variations of the power spectrum depending on  
the polarization angle

$$wh \geq 2, K_0 \approx K_1 = K$$

$$K = \frac{1.253}{(wh)^{1/2}} e^{-wh} \quad (13)$$

özellikleri (Abramowitz ve Stegun 1972) gözönüne alınarak (Şekil 3), (12) bağıntısı tekrar düzenlenirse

$$\begin{aligned} E(w) &= 16 N^2 w^2 [\cos^2 \alpha K^2(wh) + \sin^2 \alpha K^2(wh)] \\ &= 16 N^2 w^2 K^2(wh) [\cos^2 \alpha + \sin^2 \alpha] \\ E(w) &= 16 N^2 w^2 K^2(wh) \end{aligned} \quad (14)$$

şeklini alır. (14) bağıntısında

$$C = 16 N^2$$

konarak

$$E(w) = C \cdot w^2 \cdot K^2(wh) \quad (15)$$

bağıntısı elde edilir. (15) bağıntısının doğal logaritması alınırsa

$$\ln E(w) = \ln C + 2 \ln w + 2 \ln K(wh) \quad (16)$$

bulunur. (16) bağıntısı (13) yaklaşımı kullanılarak tekrar düzenlenirse

$$\ln E(w) = \ln C + 2 \ln w + 2 \ln 1.25 - \ln wh - 2 wh \quad (17)$$

elde edilir. (17) bağıntısı incelendiğinde 1 ve 3. terimler spektrumun genliğine, diğer terimler (2, 4, 5) ise spektrumun eğimi etki etmektedir. Eğimi denetleyen bu terimler incelendiğinde; 2 ve 4. terimlerin,  $w$  nin değişimine bağlı olarak, spektrumun eğiminin denetimindeki etkilerinin az olduğu açıkça anlaşılmaktadır (Çizelge 1). Bu durumda spektrumun

**Çizelge 1. Modellere ait derinlikler ve hata oranları**

**Table 1. Depths and error rates for the models**

| Model No | Gerçek derinlik (m) | Hesaplanan derinlik (m) | Hata oranı (%) |
|----------|---------------------|-------------------------|----------------|
| 1        | 50                  | 48                      | 4              |
| 2        | 150                 | 148                     | 2              |
| 3        | 250                 | 245                     | 2              |

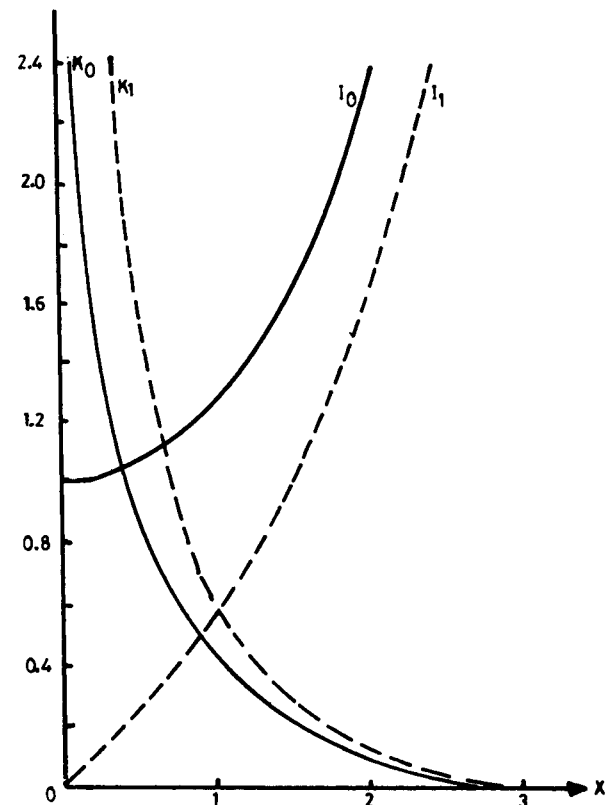
eğimi üzerindeki temel etki –  $2 wh$  teriminden kaynaklanmaktadır. Gerek buradaki yaklaşımalar gerekse benzer şekilde aynı yöntemin gravite ve manyetik uygulamalarındaki yaklaşımalar (Spector ve Grant 1970, Green 1972, vd) gözönüne alındığında; yaklaşık olarak

$$\text{Eğim} = -2h \quad (18)$$

bağıntısı yazılabilir ve bu bağıntıdan anomalide neden olan küre şekilli cismin derinliği saptanabılır.

## UYGULAMA

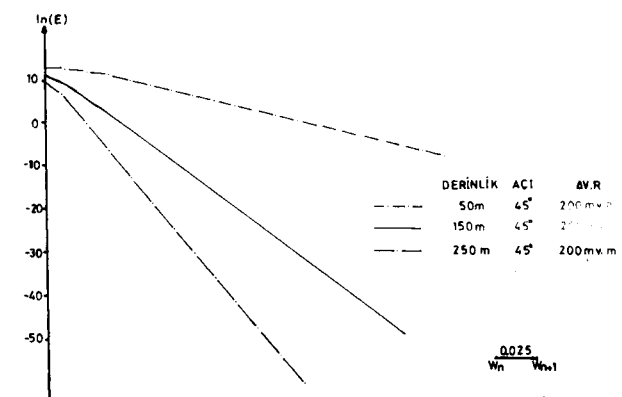
Şekil 1'de görülen küre şekilli bir cismin oluşturacağı SP anomalisinin güç spektrumu (12) ve Ek'teki bağıntılar kullanılarak hesaplanmıştır. Uygulama, polarlanma açısı, küre ya-



**Şekil 3.  $I_0(x)$ ,  $K_0(x)$ ,  $I_1(x)$  ve  $K_1(x)$  fonksiyonlarının değişimi (Abramowitz ve Stegun 1972'den)**

**Fig. 3. The variation of  $I_0(x)$ ,  $K_0(x)$ ,  $I_1(x)$  and  $K_1(x)$  functions (After, Abramowitz and Stegun 1972)**

nçapı ve gerilim farkı sabit olmak üzere üç değişik derinlik için gerçekleştirilmiştir. Elde edilen sonuçlar ve yapılara ilişkin parametreler Şekil 4'te verilmektedir.



**Şekil 4. Derinliğe bağlı olarak güç spektrumunun değişimi**

**Fig. 4. The variation of the power spectrum depending on depth**

Şekil 4'ten, spektrum eğrisinin eğiminin, yapının derinliğine bağlı olarak değişimi açık bir şekilde görülmektedir. Bu değişim, (18) bağıntısından yararlanarak hesaplanan derinlik değerleri ve hata miktarları Çizelge 1'de sunulmaktadır.

Elde edilen sonuçlar incelendiğinde gerçek derinlikler ile hesaplanan derinlikler arasında oldukça iyi bir uyumun varlığı görülmektedir. Ayrıca izlenen diğer bir özellik ise derinlik

tayininde, (17) bağıntısında,  $w$  nin değişimine bağlı olarak 2 ve 4 nolu terimlerin etkilerinin az olması nedeniyle gözardı edilebilecekleri savının desteklenmesidir.

## SONUÇLAR

Geçerleştirilen bu çalışma sonucunda SP yönteminde küre şekilli bir cismin gerilim bağıntısından yararlanarak, kumsal spektrumu hesaplanmıştır.

Elde edilen spektrum bağıntısı yardımıyla küre şekilli yapı parametrelerinin, spektrum üzerindeki denetimleri araştırılmıştır.

(12), (13), (15) ve (16) nolu denklemlerin irdelenmesinden; küre yarıçapının ( $R$ ) ve potansiyel farkının ( $\Delta V$ ) spektrum genliğini, kürenin derinliğinin ( $h$ ) spektrumun eğimini denetlediği, bunlara karşın polarlama açısının (a) ise, Modifiye Bessel fonksiyonlarının özellikleri gözönüne alınarak, alçak frekanslar dışında spektrum üzerinde denetimi olmadığı saptanmıştır.

Kürenin derinliği, spektrumun eğiminden gravite ve manyetikteki uygulamalara benzer şekilde hesaplanabilmektedir.

## KAYNAKLAR

- Abramowitz, M. and Stegun, I.A. 1972, Handbook of Mathematical Functions, Dover Publications, Inc., New York.
- Babu, H.V.R. and Rao, D.A. 1988, Inversion of self-potential anomalies in mineral exploration, Computers and Geosciences 3, 377-387.
- Bhattacharyya, B.K., 1965, Two dimensional harmonic analysis as a tool for magnetic interpretation, Geophysics 30, 829-857.
- Bhattacharyya, B.K. 1966, Continuous spectrum of the total magnetic field anomaly due to a rectangular prismatic body, Geophysics 31, 97-121.
- Bhattacharyya, B.B. and Roy, N. 1981, A note on the use of nomogram for self-potential anomalies, Geophysical Prospecting 29, 102-107.
- Dean, W.C. 1958, Frequency analysis for gravity and magnetic interpretation, Geophysics 23, 97-127.
- Erdelyi, A. 1954, Tables of Integral Transforms, Vol. 1, Mc Graw-Hill Book Company, Inc., New York.
- Green, A.G. 1972, Magnetic profile analysis Geophys. J. R. Astr. Soc. 30, 393-403.
- Heiland, C.A. 1968, Geophysical Exploration, Hafner Publishing Co., New York.
- Marquardt, D.W. 1963, An algorithm for least-squares estimation of non linear parameters, Journal Society Industry Applied Mathematic 2, 431-441.
- Murty B.V.S. and Haricharan, P. 1985, Nomogram for the complete interpretation of spontaneous potential profiles over sheet-like and cylindrical two-dimensional sources, Geophysics 50, 1127-1135.
- Spector, A. and Bhattacharyya, B.K. 1966, Energy spectrum and auto-correlation function of anomalies due to simple magnetic models, Geophysical Prospecting 14, 242-272.
- Spector, A. and Grant, F.S. 1970, Statistical models for interpreting aeromagnetic data, Geophysics 35, 293-302.

## EK

1)

$$g(y) = \int_0^{\infty} f(x) \cos(xy) dx$$

$$f(x) = (x^2 + a^2)^{-V-1/2}$$

$$g(y) = (1/2 y/a)^V \pi^{1/2} [\Gamma(V+1/2)]^{-1} K_V(ay) \quad a>0, V>-1/2$$

(Erdelyi 1954, S. 11)

2)

$$g(y) = \int_0^{\infty} f(x) \cos(xy) dx$$

$$f(x) = \frac{x}{(x+a)^{V+1/2}}$$

$$g(y) = \frac{(-1)^m a^{-V} \pi^{1/2}}{2^V \Gamma(V+1/2)} \frac{d^{2m}}{dy^{2m}} \left[ y^V K_V(ay) \right] \quad 0 \leq m < V+1/2$$

(Erdelyi 1954, S. 14)

3)

$$g(y) = \int_0^{\infty} f(x) \sin(xy) dx$$

$$f(x) = x(x^2 + a^2)^{-3/2}$$

$$g(y) = y K_o(ay)$$

(Erdelyi 1954, S. 66)

4)

$$g(y) = \int_0^{\infty} f(x) \sin(xy) dx$$

$$f(x) = \frac{x}{(a^2 + x^2)^{n+1/2}}$$

$$g(y) = \frac{(-1)^{m+1} \pi^{1/2}}{2^n a^n \Gamma(n+1/2)} \frac{d^{2m+1}}{dy^{2m+1}} \left[ y^n K_n(ay) \right] \quad -2 \leq m \leq 2n$$

(Erdelyi 1954, S. 67)

5)

$$\Gamma(1) = 1, \Gamma(1/2) = (\pi)^{1/2}, \Gamma(3/2) = 1/2(\pi)^{1/2}$$

(Abramowitz ve Stegun 1972, S. 255)

6)

$0 < x < 2$

$$K_0(x) = -\ln(x/2) I_0(x) - 0.5772 + 0.4227(x/2)^2 + 0.2306(x/2)^4 \dots$$

(Abramowitz ve Stegun 1972, S. 379)

7)

$2 < x < \infty$

$$x^{1/2} e^x K_0(x) = 1.25331 - 0.0783(2/x) + 0.0218(2/x)^2 - 0.0106(2/x)^3 \dots$$

(Abramowitz ve Stegun 1972, S. 379)

8)

$0 < x < 2$

$$x K_1(x) = x \ln(x/2) I_1(x) + 1 + 0.15443(x/2)^2 - 0.67278(x/2)^4 \dots$$

(Abramowitz ve Stegun 1972, S. 379)

9)

$2 < x < \infty$

$$x^{1/2} e^x K_1(x) = 1.2533 + 0.2349(2/x) - 0.0365(2/x)^2 + 0.01504(2/x)^3 \dots$$

(Abramowitz ve Stegun 1972, S. 379)